

УДК 533.6.011.8 : 548.5

## РЕШЕНИЕ ЗАДАЧИ О ТЕЧЕНИИ ГАЗА ПО ЦИЛИНДРИЧЕСКИМ КАПИЛЛЯРАМ В ПРОМЕЖУТОЧНОМ РЕЖИМЕ МЕТОДОМ МОНТЕ-КАРЛО

Л. М. НУСИНЗОН, Б. Т. ПОРОДНОВ, П. Е. СУЕТИН

(Свердловск)

В настоящее время имеется достаточное количество решений задачи о свободномолекулярном истечении газа через короткий цилиндрический канал, например [1-3]. В промежуточном режиме течения при числах Кнудсена  $Kn \sim 1$  получены решения для предельных случаев: неограниченно длинного канала [4] и канала нулевой длины (отверстия) [5]. Решения же задачи для коротких каналов при  $Kn \sim 1$  неизвестны. В данной работе приводятся результаты расчета методом Монте-Карло макроскопических характеристик истечения газа в вакуум через короткий цилиндрический капилляр с различным отношением длины к радиусу и с учетом межмолекулярных столкновений.

1. При построении алгоритма прохождения пробной молекулы через капилляр используется модель псевдомаксвелловских сфер, для которой полное эффективное сечение столкновения двух молекул обратно пропорционально их относительной скорости  $g$ , т. е.  $\sigma = \sigma_0/g$ ,  $\sigma_0 = \text{const}$ . Скорость молекулы после столкновения определяется как при столкновении твердых сфер. Скорости полевых молекул, с которыми сталкиваются пробные молекулы, выбираются по методу, предложенному в [6].

Предполагается, что в области перед каналом вплоть до входного сечения состояние газа описывается максвелловской функцией распределения  $n_0 f(v, T_0) = n_0 (m/2\pi k T_0)^{3/2} \exp(-mv^2/2kT_0)$ . Течение газа характеризуется числом Кнудсена  $Kn = 3(kT_0/2m)^{1/2}/n_0 \sigma_0 R$ , где  $m$  — масса молекулы,  $n_0$  — плотность газа,  $R$  — радиус капилляра. Отражение молекул от стенки диффузное с температурой стенки  $T_0$ . Вне капилляра за выходным сечением движение молекул бесстолкновительное.

Таким образом, рассматриваемой областью течения является внутренняя часть капилляра, которая разбивается на ячейки в виде колец толщиной  $R/N_r$  и шириной  $L/N_z$ , где  $L$  — длина капилляра.

2. Равномерно по входному сечению капилляра разыгрываются стартовые координаты пробной молекулы. Плотность распределения скорости, с которой молекула влетает в канал или стартует (отражается) с его поверхности после диффузного отражения, пропорциональна  $v_n f(v, T_0)$ , где  $v_n$  — нормальная составляющая скорости к поверхности старта. Модуль этой скорости можно моделировать как  $v = (kT_0/m)^{1/2} \times (-2 \ln(\alpha_1 \alpha_2))^{1/2}$  [7], где  $\alpha_1$  и  $\alpha_2$  — случайные числа с равномерным распределением из (0,1). Направление движения моделируется по закону косинуса.

Слежение за пробной молекулой прекращается при выходе ее за пределы канала (одно испытание). Всего проводится  $N$  испытаний.

Макропараметры течения газа (плотность  $n$ , продольная составляющая скорости  $u$  и температура  $T$ ) определяются следующим образом:

$$n = \frac{n_0 v_t}{4} \frac{\tau}{N \Delta V}, \quad v_t = \left( \frac{8kT_0}{\pi m} \right)^{1/2}$$

$$u = \frac{\tau_u}{\tau}, \quad T = \frac{m}{3k} \left( \frac{\tau_t}{\tau} - u^2 \right)$$

$$\tau = \sum_{i=1}^N \sum_j t_{ij}, \quad \tau_u = \sum_{i=1}^N \sum_j v_{zij} t_{ij}, \quad \tau_t = \sum_{i=1}^N \sum_j v_{ij}^2 t_{ij}$$

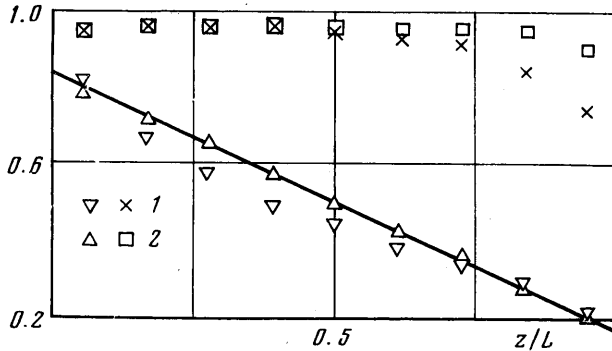
где  $t_{ij}$ ,  $v_{ij}$ ,  $v_{zij}$  — соответственно время движения, скорость и проекция скорости молекулы на ось капилляра на  $j$ -м прямолинейном участке бесстолкновительного движения  $i$ -й пробной молекулы внутри ячейки,  $\Delta V$  — объем ячейки. Тогда относительную ошибку определения  $n$  можно вычислить по формуле

$$\varepsilon_n = \kappa_\beta \left( \frac{\tau_2}{\tau^2} - \frac{1}{N} \right)^{1/2}, \quad \tau_2 = \sum_{i=1}^N \left( \sum_j t_{ij} \right)^2$$

Здесь  $\kappa_\beta$  — корень уравнения  $\text{erf}(\kappa_\beta/\sqrt{2}) = \beta$ ,  $\beta$  — коэффициент доверия.

После достижения заданной точности  $\epsilon_n$  полученное распределение плотности  $n$  принимается за исходное и моделирование повторяется до тех пор, пока вновь полученное распределение  $n$  не будет отличаться от предыдущего не более чем на  $\epsilon$ . В качестве начального распределения принималось распределение  $n$ , соответствующее свободномолекулярному течению.

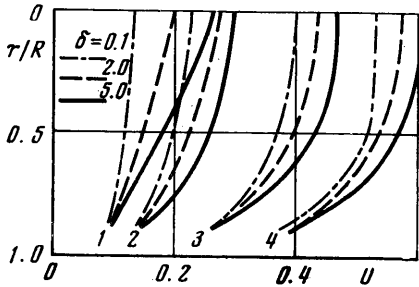
Расчеты на ЭВМ показали, что примененный метод имеет хорошую сходимость. Для получения результатов при  $Kn \geq 0.2$  было достаточно двух — четырех итераций. Вычисления проводились на ЭВМ М-222 с использованием различных датчиков случай-



Фиг. 1

ных чисел, а результаты счета усреднялись по  $\sim 60\,000$  испытаний. Было выбрано  $N_z=9, N_r=4, \epsilon_n=\epsilon \leq 4\%$  и  $\kappa_p=1.96$  ( $\beta=0.95$ ). Время счета на 1000 испытаний  $\sim 3$  мин.

Для проверки правильности работы алгоритма была решена задача о самодиффузии газа через капилляр  $L/R=4$  при  $\delta=\sqrt{\pi}/2, Kn=2$ . С точностью  $\epsilon_n \sim 3.5\%$  распределение плотности в средней части капилляра получилось заниженным на 3.4% на оси и завышенным на 4.9% у стенки. Распределение  $u$  колеблется в пределах ошибки, а значения  $T$  получились ниже на  $\sim 1.2\%$ . При  $\delta \leq 1$  эти расхождения почти не заметны.



Фиг. 2

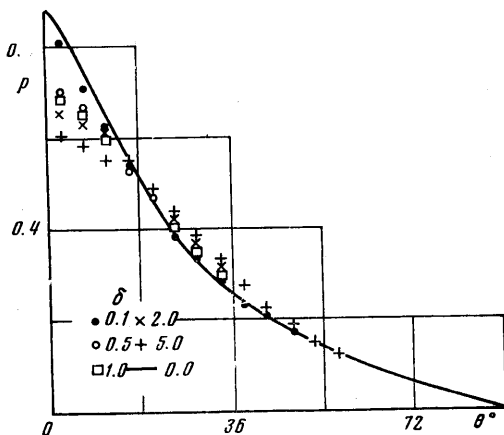
3. В таблице приведены результаты расчета относительной проводимости  $Q/Q_0$  коротких цилиндрических капилляров при различных  $\delta$ . Здесь  $Q$  — проводимость капилляра, которая определяется отношением потока молекулы, вылетевших из канала через выходное сечение, к потоку молекулы, вошедших в канал, а  $Q_0$  — проводимость капилляра в свободномолекулярном режиме ( $\delta=0$ ), взятая из [2]. В таблице представлены также для сравнения значения  $Q/Q_0$  для отверстия ( $L=0$ ), полученные из решения модельного уравнения [5] и значения приведенного расхода газа для предельного случая неограниченно длинных каналов ( $L=\infty$ ), рассчитанные с применением метода Монте-Карло к вычислению интегралов столкновений в уравнении Больцмана [4].

На фиг. 1 для иллюстрации приведено распределение относительных макропараметров течения газа  $n' = n/n_0$  и  $T' = T/T_0$  на оси (обозначения 1) и вблизи стенки на

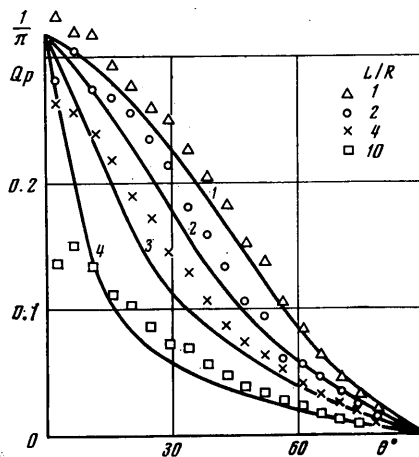
$\delta$	$L/R$					
	0	1	2	4	10	$\infty$
0.1	1.01	1.003	1.015	1.000	1.000	1.00
0.5	1.10	1.014	1.020	1.024	1.031	0.99
1.0	1.15	1.022	1.056	1.053	1.070	1.07
2.0	1.23	1.051	1.084	1.131	1.133	1.28
5.0	—	1.088	1.170	1.212	1.215	1.73

расстоянии  $0.125 R$  (обозначения 2) от нее в канале с  $L/R=4$  при  $\delta=5$ . Расчеты показали, что для каналов с  $L/R \geq 2$  распределение плотности газа вблизи стенки при всех  $\delta$  отличается от соответствующего распределения в свободномолекулярном пределе (сплошная линия на фиг. 1) менее чем на 1%. С увеличением  $\delta$  плотность молекул газа на оси в средней части капилляра уменьшается по сравнению со свободномолекулярной, и при  $\delta=5$  это отличие составляет  $\approx 14\%$ . На капилляре  $L/R=10$  для всех  $\delta$  распределение  $n/n_0$  в пределах  $\sim 2\%$  совпадает со свободномолекулярным.

Как видно из фиг. 1, имеет место отличие в распределении температур на оси и вблизи стенок канала во второй половине капилляра. При этом вблизи стенки тем-



Фиг. 3



Фиг. 4

пература газа при всех  $\delta$  практически одинакова ( $\sim 1\%$ ), а на оси уменьшается с увеличением  $\delta$ . При  $\delta=0.1$  и 5 это отличие не превышает 4%.

Профили продольной относительной скорости течения газа  $U=u/v_z$  в сечениях  $L/18$ ,  $L/2$ ,  $15L/18$  и  $17L/18$ , усредненные на отрезках канала длиной  $L/9$  (группы кривых 1—4 соответственно), приведены на фиг. 2.

На фиг. 3 представлены плотности распределения  $p(\theta)$  потоков молекул, вылетающих из канала  $L/R=4$  в единичный телесный угол под углом  $\theta$ , который отсчитывается от оси капилляра, при различных  $\delta$ . Как видно, увеличение числа межмолекулярных столкновений приводит к расширению вылетающего пучка. Расчеты показали, что при  $\theta \geq 50^\circ$  для капилляров с  $L/R=1$  наблюдается совпадение в пределах 2% с соответствующей плотностью  $p(\theta)$  для свободномолекулярного режима течения.

Зависимость величины  $Qp(\theta)$ , которая является вероятностью того, что молекула, попавшая в канал, вылетит из него через выходное сечение в единичный телесный угол под углом  $\theta$  к оси, представлена на фиг. 4 для режима течения с  $\delta=2$ . Сплошные линии 1—4 на этой фигуре соответствуют теоретическим значениям  $Qp(\theta)$ , вычисленным для свободномолекулярного режима течения [3] для значений  $L/R$ , равных 1, 2, 4, 10. Расчеты показали, что с увеличением  $L/R$  и  $\delta$  интенсивность пучка на оси уменьшается. При фиксированной длине канала с увеличением  $\delta$  поток молекул увеличивается в основном в области  $\theta=20-40^\circ$ , что вносит основной вклад в изменение значения проводимости  $Q$ .

4. Полученные значения относительной проводимости  $Q/Q_0$  в зависимости от  $\delta$  качественно хорошо согласуются с данными, полученными для предельных случаев (отверстие и неограниченно длинный канал). Действительно, из таблицы видно, что с увеличением параметра наблюдается увеличение относительной проводимости  $Q/Q_0$ . Однако скорость возрастания  $Q/Q_0$  с увеличением  $\delta$  для отверстия значительно больше, чем для любого канала конечной длины. Причина такого расхождения полученных результатов с имеющимися данными обусловлена, по-видимому, тем, что при постановке задачи не учитывалась область течения газа перед капилляром, в которой за счет межмолекулярных столкновений происходит изменение функции распределения молекул по скоростям. Очевидно, что входящие в канал молекулы распределены по закону, отличающемуся от максвелловского. Поскольку в основном формирование потока происходит на расстоянии, меньшем  $4R$  до входного сечения [5], то, очевидно, при более строгом решении необходимо расширить рассматриваемую область течения.

Следует также отметить, что отличие плотности молекул на оси и у стенок канала при  $\delta \geq 1$  (фиг. 1) можно объяснить, во-первых, неточностью постановки задачи и, во-вторых, неточностью используемого метода [6], что хорошо иллюстрирует решение задачи о самодиффузии газа в коротком канале.

Поступила 25 III 1976

#### ЛИТЕРАТУРА

1. Clausing P. Over de Stationnaire Strooming van Zeer Verdunde Gassen. Physica, 1929, Bd. 9, No. 3.
2. De Marcus W. C. Report K-1302. Union Carbide Nuclear Company, Oak Ridge, Tennessee, 1957.
3. Неудачин И. Г., Породнов Б. Т., Суегин П. Е. Формирование узких молекулярных пучков цилиндрическими каналами. Ж. техн. физ., 1972, т. 42, № 5.
4. Горелов С. Л. Течение разреженного газа в трубе. Изв. АН СССР, МЖГ, 1974, № 1.
5. Шахов Е. М. Решение осесимметричных задач теории разреженных газов методом конечных разностей. Ж. вычислит. матем. и матем. физ., 1974, т. 14, № 4.
6. Власов В. И. Расчет методом Монте-Карло потока тепла между параллельными пластинами в разреженном газе. Уч. зап. Центр. аэрогидродинам. ин-та, 1970, т. 1, № 4.
7. Михайлов Г. А. Некоторые вопросы теории методов Монте-Карло. Новосибирск, «Наука», 1974.

УДК 534.222.2

### РАСПРОСТРАНЕНИЕ УДАРНОЙ ВОЛНЫ ПО СТРУЕ ВОДЫ

Г. А. АТАНОВ, А. Н. СЕМКО

(Донецк)

Численно решена задача о распространении ударной волны, вышедшей из круглой трубы в струю воды. Решение проведено методом [1].

1. В стационарную осесимметричную струю воды (область 1 на фиг. 1), истекающую из цилиндрической трубы 2 со скоростью  $u_0$ , выходит стационарная ударная волна с плоским фронтом 3.

Математическая задача сводится к решению уравнений нестационарной газовой динамики. В цилиндрической системе координат безразмерная система уравнений имеет вид [2]

$$(1.1) \quad \begin{aligned} \frac{\partial \rho r}{\partial t} + \frac{\partial \rho u r}{\partial x} + \frac{\partial \rho v r}{\partial r} &= 0 \\ \frac{\partial \rho u r}{\partial t} + \frac{\partial}{\partial x} \left( r \frac{\rho^n - 1}{n} + r \rho u^2 \right) + \frac{\partial \rho u v r}{\partial r} &= 0 \\ \frac{\partial \rho v r}{\partial t} + \frac{\partial \rho u v r}{\partial x} + \frac{\partial}{\partial r} \left( r \frac{\rho^n - 1}{n} + r \rho v^2 \right) &= \frac{\rho^n - 1}{n} \end{aligned}$$

Здесь  $x, r$  — продольная и радиальная координаты,  $t$  — время,  $\rho$  — плотность,  $u, v$  — компоненты скорости по осям  $x$  и  $r$ ,  $n=7.15$  — показатель изэнтропии в уравнении состояния воды, взятом в форме Тэта.

Примем за начальный момент момент достижения ударной волной выходного сечения трубы; тогда

$$(1.2) \quad \begin{aligned} u(x, r, 0) &= u_1, & v(x, r, 0) &= 0, & \rho(x, r, 0) &= \rho_1 \\ -\infty < x < 0, & & 0 \leq r \leq 1 & & \\ u(x, r, 0) &= u_0, & v(x, r, 0) &= 0, & \rho(x, r, 0) &= 1 \\ 0 < x < \infty, & & 0 \leq r \leq 1 & & \end{aligned}$$

Граничные условия

$$(1.3) \quad -\infty < x < 0, \quad v(x, 1, t) = 0$$

$$(1.4) \quad 0 < x < \infty, \quad \rho(x_*, r_*, t) = 1$$